

بررسی تحولات فازی و ریزساختارها در یک فولاد میکروآلیاژی حاوی Ti و Nb به روش های دیلاتومتری و متالوگرافی*

مهردی کلانتر^(۱)سید صادق قاسمی بنادکوکی^(۲)آسیه سادات موسوی محولاتی^(۳)

چکیده

در این پژوهش، جزئیات ریزساختارها و تحولات فازی آستانتی در یک فولاد کم کربنی میکروآلیاژی حاوی Ti و Nb در شرایط سرد شدن پیوسته به روش های دیلاتومتری، متالوگرافی و سختی سنجی بررسی شده است. نتایج نشان می دهند وقتی که سرعت سرد شدن بیش از $10^{\circ}\text{C}/\text{s}$ است، منحنی دیلاتومتری فقط یک مرحله تغییرات ابعادی پیوسته در دماهای نسبتاً پایین از خود نشان می دهد که متناسب با محدوده دمای تحول مارتزیتی است. همچنین برای سرعت سرد شدن بین $0.2-0.8^{\circ}\text{C}/\text{s}$ ، منحنی دیلاتومتری تغییرات ابعادی یکنواخت و پیوسته یک مرحله ای در محدوده دمای تحولات فازی بینایی و مارتزیتی نشان می دهد در حالیکه در سرعت های سرد شدن آهسته تر از $0.2^{\circ}\text{C}/\text{s}$ ، تغییرات ابعادی کاملاً متفاوت دو مرحله ای در منحنی دیلاتومتری آشکار شده است که مربوط به تحولات فازی فریتی و بینایی است. بر اساس این نتایج پیشنهاد می گردد بینایت و مارتزیت با مکانیزم برشی مشابه تحول می یابند، درحالی که فریت با مکانیزم نفوذی کاملاً متفاوت از بینایت و مارتزیت تحول می یابد.

واژه های کلیدی فولاد کم کربنی کم آلیاژ؛ سرد شدن پیوسته؛ دیلاتومتری؛ متالوگرافی؛ فریت، بینایت؛ مارتزیت.

Investigation of Continuous Cooling Transformations and Microstructures in a Low Carbon Ti-Nb Bearing Microalloyed Steel by Means of Dilatometry and Metallography

A.S.Moosavi

S.S.Ghasemi

M.Kalantar

Abstract

In this investigation, continuous cooling transformations and microstructures have been studied in detail in a low carbon Ti-Nb bearing microalloyed steel by means of dilatometry, metallography and hardness measurements. The results indicate that when the cooling rate is greater than $1^{\circ}\text{C}/\text{s}$, the dilatation curve is associated with a major dilatation at relatively low transformation temperatures, which is consistent with the martensitic phase transformation. For a cooling rate between $0.2-0.8^{\circ}\text{C}/\text{s}$, the dilatation curve is also characterized with a uniform single transformation over the martensitic and bainitic phase transformation temperature range. However, as the cooling rate is reduced to less than $0.2^{\circ}\text{C}/\text{s}$, the dilation curve is characterized with a quite variable double stage transformation which is associated with the ferrite and bainite transformation products. These results suggest that the bainitic and martensitic phase transformations are developed with a similar displacive mechanism, while ferrite is formed by a diffusional mechanism.

Keywords Low Carbon Low Alloy Steel; Continuous Cooling; Dilatometry; Metallography; Ferrite; Bainite; Martensite.

* نسخه نخست مقاله در تاریخ ۹۲/۱۲/۱۰ و نسخه پایانی آن در تاریخ ۹۳/۹/۲۹ به دفتر نشریه رسیده است.

(۱) دانشجوی کارشناسی ارشد، دانشکده مهندسی معدن و متالورژی، دانشگاه یزد.

(۲) نویسنده مسئول: دانشیار، دانشکده مهندسی معدن و متالورژی، دانشگاه یزد.
sghasemi@yazd.ac.ir

(۳) دانشیار، دانشکده مهندسی معدن و متالورژی، دانشگاه یزد.

مقدمه

بالا از یکدیگر تفکیک سازی نمی شوند. گروهی از محققین [7-10] ادعا می نمایند بینایت و مارتزیت در فولادهای کم کربنی با مکانیزم برشی مشابهی تحول می یابند در حالیکه گروهی دیگر [11,12] ادعا می نمایند نفوذ و جابجا شدن اتمها در طی تحول بینایتی نقش اساسی بازی نموده و در نتیجه بینایت با مکانیزم نفوذی تشکیل می گردد. این مباحث در متالورژی فیزیکی فولادهای کم کربنی کم آلیاژ و خصوصاً تفکیک سازی ریزساختارها و تحولات فازی بینایتی از مارتزیتی ادامه دارد و هنوز هم توافق واحدی در این مورد وجود ندارد [9-11]. در این پژوهش، جزئیات ریزساختارها و تحولات فازی آستنیت در یک فولاد کم آلیاژ کم کربنی حاوی مقادیر مشخصی عناصر میکرو آلیاژی نایوبیوم و تیتانیوم در شرایط سرد شدن پیوسته به روش‌های دیلاتومتری، متالوگرافی و سختی سنجی بررسی شده است.

مواد و روش تحقیق

فولاد مورد استفاده در این پژوهش از خانواده فولادهای کم کربنی کم آلیاژ استحکام بالا با آنالیز شیمیایی مطابق جدول (1) می باشد. ضخامت ورق فولاد دریافتی ۱۰ میلیمتر و ساختار آن شامل مخلوطی از ریزساختارهای بینایتی و مارتزیت تمپر شده می باشد. جهت بررسی تحولات فازی آستنیت در شرایط سرد شدن پیوسته از دستگاه دیلاتومتری کاملاً اتوماتیک مدل Theta استفاده شد. محفظه نصب نمونه توسط پمپهای تخلیه معمولی و دیفوزیونی به خلا^{-۴} ۱۰ تور رسید بطوریکه مانع هرگونه اکسیداسیون سطحی نمونه ها گردید. نمونه های سیلندری شکل به طول ۱۳ میلیمتر، قطر داخلی ۳/۵ میلیمتر و قطر خارجی ۴/۹ میلیمتر در مقاطع عمود برجهت نورد از ورق دریافتی تهیه شدند. نمونه ها به روش القایی به مدت ۵ دقیقه در دمای ۱۰۰۰°C آستنیته شده و سپس بصورت پیوسته با سرعتهای مختلفی از

در طی طراحی و توسعه فولادهای کم آلیاژ استحکام بالا، مقادیر کم کربن جهت به دست آوردن مجموعه بالایی از خواص مهندسی نظر استحکام کششی و چرمگی همراه با قابلیت جوشکاری در نظر گرفته می شود. در یک مقدار ثابت کربن، استحکام و ضربه پذیری بالاتری را می توان در ریزساختارهای بینایتی - مارتزیتی در مقایسه با ریزساختارهای فریتی - پرلیتی بدست اورد [1,2]. بر این اساس اضافه نمودن مقادیر مشخصی از عناصر آلیاژی نظیر کروم، نیکل، مس و بویژه مولیبدن باعث افزایش سختی پذیری جهت دستیابی به ریزساختارهای بینایتی - مارتزیتی در مقاطع ضخیم می گردد. همچنین از عناصر کاربید ساز قوی نظیر نایوبیوم، تیتانیوم و وانادیوم جهت تشکیل کاربیدها، نیتریدها و کربونیتریدهای بسیار پایدار در دماهای بالا که به عنوان ریزکننده دانه های آستنیت و افزایش دهنده استحکام و چرمگی در طی پروسه های ترمومکانیکال می باشند، نیز استفاده می شود [2-6]. بنابراین، مقادیر کم کربن در کنار مجموعه مشخصی از عناصر آلیاژی و کنترل پروسه های ترمومکانیکال در فولادهای کم آلیاژ استحکام بالا منجر به تشکیل ریزساختارهای چند فازی و تحولات فازی پیچیده ای خصوصاً در طی سرد شدن پیوسته می گردد که معمولاً دسته بندی ریزساختارها و تحولات فازی در چنین فولادهای چند فازی کاملاً متفاوت از فولادهای کربنی و کم آلیاژ فریتی - پرلیتی می باشد، چراکه عدم حضور کربن و نتیجتاً عدم تشکیل کاربید باعث می گردد ریزساختارهای بینایتی شبیه فریت در محدوده گسترده ای از دماهای میانی بین تحولات فازی آستنیت به فریت - پرلیت و آستنیت به مارتزیت تشکیل گردد [2-6]. نتایج تحقیقاتی نشان می دهد بینایت و مارتزیت که برآحتی در فولادهای کربنی متوسط از یکدیگر قابل تشخیص می باشند، در فولادهای کربن پایین استحکام

آستینیت کردن (1000°C) تا دمای محیط حتی در محدوده دمای آزاد شدن انرژی بالای نهفته در نمونه ها در اثر تحولات فازی آستینیت بصورت کاملاً خطی است. این نکته بیانگر آن است که هرگونه تغییری در شب منحنی های تغییرات ابعادی بر حسب دما ناشی از تحولات فازی آستینیت می باشد. وقتی که سرعت سرد شدن کمتر از 2°C/s بود، منحنی دیلاتومتری انساط دو مرحله ای در محدوده دمایی دگرگونی فازی آستینیت مطابق با شکل (۱-الف) از خود نشان داد. به منظور تعیین دقیق دمای شروع تحولات فازی آستینیت به ریزساختارهای مختلف، یک سری آزمایشهای کوئنچ منقطع از دماهای مشخص در طی سرد شدن پیوسته طراحی و انجام گردید. برای مثال، نمونه های مختلفی با سرعت 10°C/s بطور پیوسته تا محدوده دمای تحولات فازی آستینیت سرد شده و سپس از دمای خاصی تا دمای محیط کوئنچ شدند. بر اساس مشاهدات متالوگرافی، ابتدا فریت در دمای حدود 493°C تشکیل گردید که مطابق با دمای شروع اولین مرحله تغییرات ابعادی در منحنی دیلاتومتری است. با ادامه سرد شدن نمونه، بینایت در دمای حدود 430°C شروع به رشد نموده و مخلوطی از ریزساختارهای بینایی و مارتزیتی در دمای 292°C مشاهده گردید که متناسب با دماهای شروع و پایان مرحله دوم تغییرات ابعادی در منحنی دیلاتومتری نمونه سرد شده با سرعت 10°C/s می باشد.

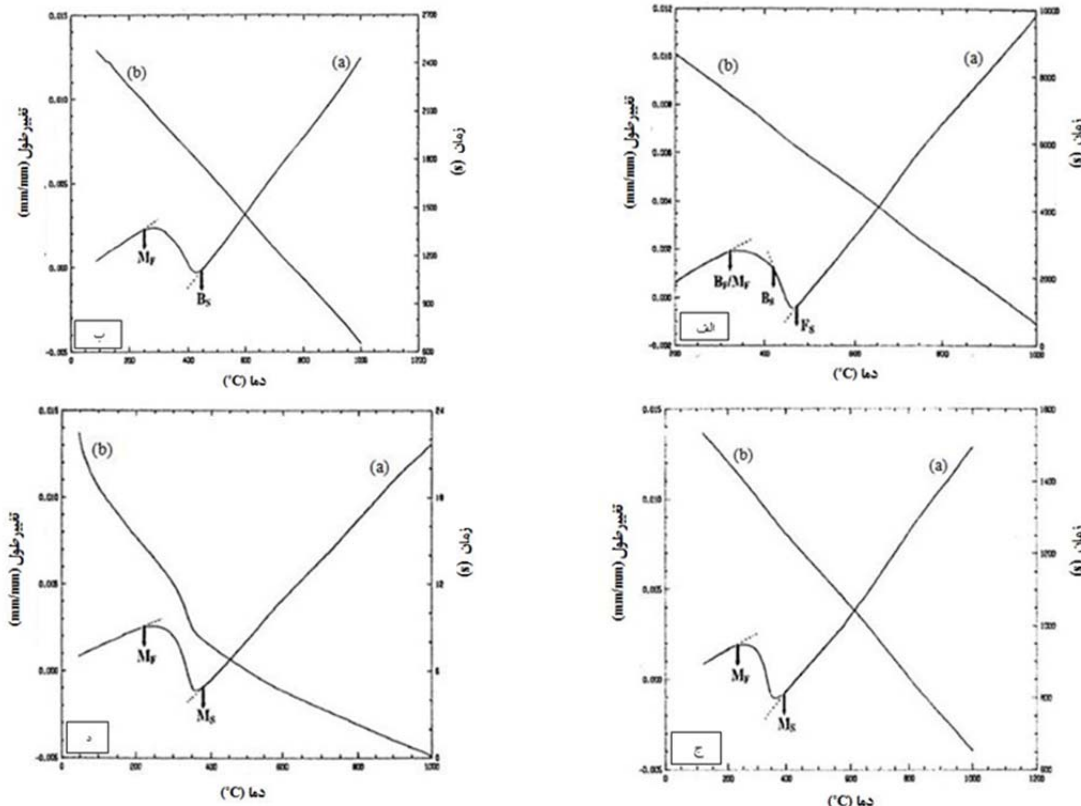
$0/1^{\circ}\text{C/s}$ الی 400°C/s تا دمای محیط سرد شدند. جهت آشکارسازی ریزساختارهای چند فازی بوجود آمده، نمونه ها مطابق با روش های متداول پولیش کاری و رنگی سازی ریزساختارهای چند فازی فریتی-بینایی-مارتنزیتی به روشهای متالوگرافی دومرحله ای با استفاده از محلول های شیمیایی نایتال ۲٪ و لپرا انجام شد. سختی سنجی به روش استاندارد ویکرز و با وزنه 10 kg انجام شد. به منظور تأیید نتایج متالوگرافی رنگی، بررسی های ریزسختی سنجی فازها توسط دستگاه مدل FUTHER-TECH FM700 مشاهدات متالوگرافی با استفاده از میکروسکوپ نوری مدل Olympus PMG3 و میکروسکوپ الکترونی روبشی (SEM) مدل VEGA3 TESCAN انجام گردید.

نتایج و بحث

رفقار دیلاتومتری. به منظور تعیین دقیق انواع زیرساختارها و تحولات فازی در فولاد کم کربنی میکرو آلیاژی مورد مطالعه، سرعت سرد شدن نمونه های دیلاتومتری از $0/1^{\circ}\text{C/s}$ تا 400°C/s متغیر بود. در شکل (۱) مثال هایی از منحنی های دیلاتومتری بدست آمده پس از اعمال سیکلهای مختلف عملیات حرارتی در شرایط سرد شدن پیوسته از دمای 1000°C تا دمای محیط نشان داده شده است. منحنی های تغییرات ابعادی بر حسب دما (منحنی های (a)) و زمان سرد شدن نمونه ها بر حسب دما (منحنی های (b)) بطور همزمان و در یک مقیاس ثابت دمایی مشخص شده است. همانطوری که ملاحظه می گردد سرعت سرد شدن نمونه ها از دمای

جدول ۱ ترکیب شیمیایی فولاد میکروآلیاژی مورد استفاده در این پژوهش (بر حسب درصد وزنی).

عناصر	C	Si	Mn	S	P	Cr	Ni	Cu	Nb	Ti	Al	Fe
درصد وزنی	۰/۲	۰/۱	۱/۵	۰/۰۰۳	۰/۰۱۳	۱/۹۸	۰/۲۵	۰/۳۴	۰/۰۱۷	۰/۰۱۳	۰/۰۲	بالانس



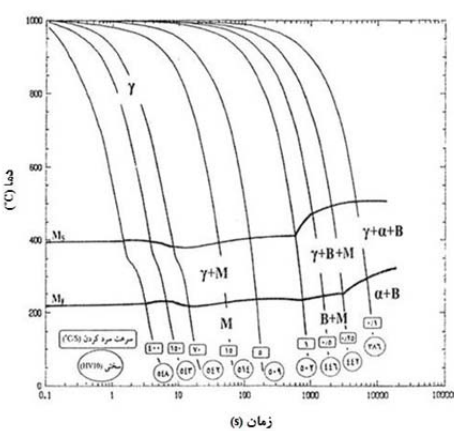
شکل ۱ منحنی های دیلاتومتری تغییرات ابعادی بر حسب دما (a) و زمان بر حسب دما (b) نمونه های تهیه شده در سرعت های مختلف سرد شدن پیوسته از دمای 1000°C تا 100°C (الف) $1^{\circ}\text{C}/\text{s}$ ؛ (ب) $5^{\circ}\text{C}/\text{s}$ ؛ (ج) $10^{\circ}\text{C}/\text{s}$ ؛ (د) $40.0^{\circ}\text{C}/\text{s}$

مرحله ای بودن منحنی دیلاتومتری در محدوده دمای تشکیل بینایت و مارتنتزیت ($455^{\circ}\text{C} - 222^{\circ}\text{C}$) در نمونه سرد شده با سرعت $0.5^{\circ}\text{C}/\text{s}$ بیانگر آن است که تحولات فازی بینایتی و مارتنتزیتی با مکانیزم مشابهی در این فولاد کم آلیاژ کم کربنی انجام می گردد.

در سرعتهای سرد شدن بین $1^{\circ}\text{C}/\text{s}$ الی $40.0^{\circ}\text{C}/\text{s}$ منحنی های دیلاتومتری فقط انبساط گسترده یک مرحله ای کاملاً یکنواخت و پیوسته در محدوده دمایی $390^{\circ}\text{C} - 222^{\circ}\text{C}$ از خود نشان می دهند که ناشی از تحول مارتنتزیتی است (شکل های ۱-ج و ۱-د). دماهای 390°C و 222°C به ترتیب مربوط به دمای شروع (M_s) و پایان (M_f) تحول مارتنتزیتی است. از سرعت سرد شدن $1^{\circ}\text{C}/\text{s}$ به بالا، دماهای شروع و پایان تحول فازی آستنیت به مارتنتزیت خیلی بهم نزدیک است که متناسب با تشکیل ریزساختارهای مارتنتزیتی است.

در سرعتهای سرد شدن متوسط ($0.8 - 2^{\circ}\text{C}/\text{s}$) منحنی دیلاتومتری فقط تغییرات ابعادی یک مرحله ای کاملاً یکنواخت و پیوسته مطابق با شکل (۱-ب) از خود نشان داد. همانطوریکه از دیاگرام دیلاتومتری مشاهده می گردد، ابتدا در اثر سرمایش نمونه دچار انقباض حجمی می گردد که تغییرات ابعادی آن بصورت کاملاً خطی در نمودار ظاهر شده است. با آغاز استحالت فازی آستنیت به بینایت، انبساط ناشی از تغییر فاز بصورت تغییر شیب محسوسی بر روی منحنی دیلاتومتری در دماهایی حدود 455°C مشاهده می گردد. با ادامه سرد شدن نمونه، منحنی دیلاتومتری انبساط یک مرحله ای کاملاً یکنواخت و پیوسته در محدوده دمایی تحولات فازی بینایتی و مارتنتزیتی ($455^{\circ}\text{C} - 222^{\circ}\text{C}$) از خود نشان می دهد. در آخرین مراحل تحول فازی آستنیت، تغییر قابل توجهی در شیب منحنی دیلاتومتری در دمای حدود 222°C مشاهده می گردد که متناسب با دمای پایان تحول مارتنتزیتی (M_f) می باشد. پیوستگی و یک

تصاویر متالوگرافی، تفکیک سازی انتخابی فازهای فریت، بینایت و مارتزیت را در ریزساختارهای چندفازی به خوبی نشان می‌دهد. محلول اج لپرا از محلول‌های متالوگرافی پرکاربرد جهت رنگی سازی و تفکیک ریزساختارهای چندفازی است. محلول اج لپرا توسعه یافته در این پژوهش شامل مخلوطی از محلول‌های شیمیایی پیکرال ۴ درصد و محلول آبی سدیم متابی سولفیت ۱ درصد به نسبت یک به یک می‌باشد. معمولاً پیکرال موجب خوردگی انتخابی بینایت شده و کمک به ایجاد کتراست فازی پس از رنگی سازی کریستال‌های سوزنی شکل بینایت می‌نماید، درحالیکه محلول شیمیایی سدیم متابی سولفیت موجب تشدید خوردگی کریستال‌های سوزنی شکل مارتزیت می‌گردد. این نمک در داخل آب تولید اجزا S , H_2SO_4 و H_2O می‌نماید که در حضور فلزاتی نظری آهن، نیکل، مس و کروم تولید یون‌های متفاوتی برای تشکیل فیلم‌های سولفیدی و تیوسولفاتی بر روی فازهای فریت، بینایت و مارتزیت می‌نماید. این فیلم‌ها در مشاهدات میکروسکوپ نوری به رنگ‌های مختلفی ظاهر می‌شوند که باعث ایجاد کتراست بالا در ریزساختارهای چندفازی می‌گرددند [۱۳-۱۷].

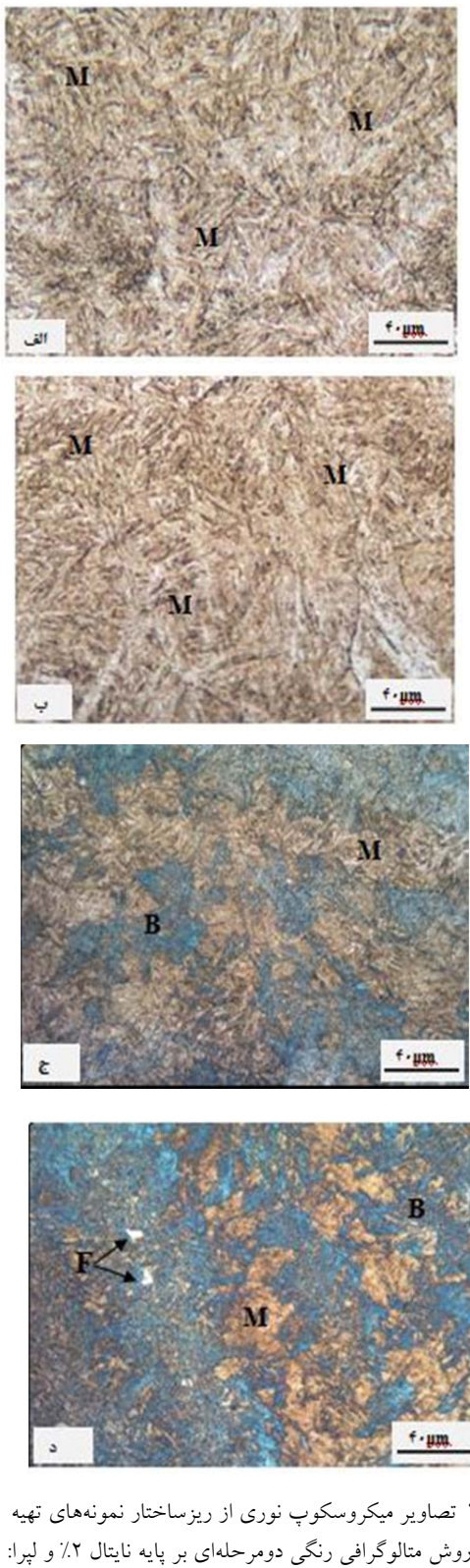


شکل ۲ دیاگرام CCT فولاد کم کربنی کم آلیاژ همراه با منحنی‌های سرعت سرد شدن پیوسته از دمای $1000^{\circ}C$ تا دمای $400^{\circ}C$ محيط و سختی سنجی از نمونه‌ها نشان‌دهنده محدوده پایداری فازهای: آستنیت (γ)؛ فریت (α)؛ بینایت (B) و مارتزیت (M) می‌باشد.

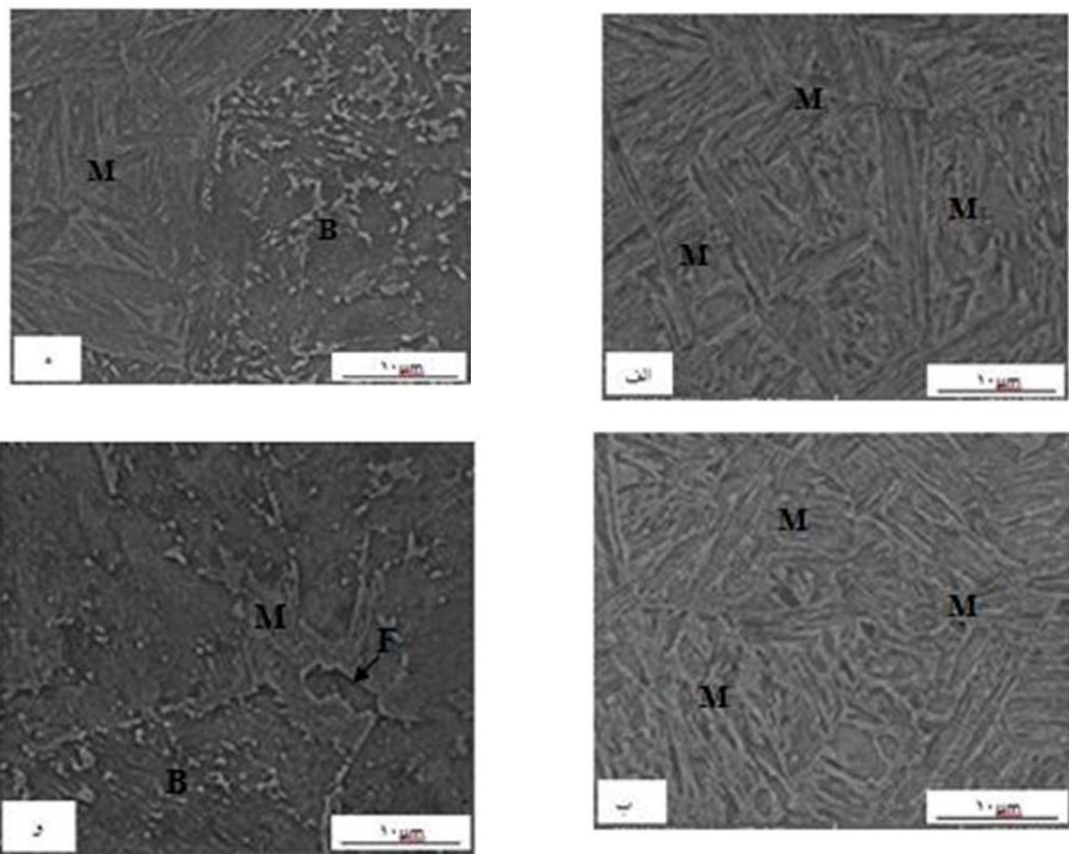
سختی سنجی و دیاگرام فاز سرد شدن پیوسته. در شکل (۲) دیاگرام فاز سرد شدن پیوسته (CCT) فولاد کم کربنی میکرو آلیاژی مورد مطالعه در این پژوهش نشان داده شده است. سختی ویکرز نمونه‌ها به همراه منحنی‌های سرد شدن پیوسته از دمای $1000^{\circ}C$ تا دمای $400^{\circ}C$ محیط در هر سرعت سرد شدن در دیاگرام فاز CCT نشان داده شده است. همانطوریکه ملاحظه می‌گردد در دیاگرام فاز CCT فقط محدوده دمای تحولات فازی آستنیت به مارتزیت، آستنیت به بینایت و آستنیت به فریت مشخص شده است و هیچگونه اثری از تشکیل ناحیه فازی پرلیت حتی در سرعت‌های سرد شدن بسیار آهسته ($0.1^{\circ}C/s$) دیده نمی‌شود که بیانگر سختی‌پذیری فوق العاده بالای فولاد مورد پژوهش می‌باشد. در حداکثر سرعت سرد شدن ممکن در این پژوهش ($400^{\circ}C/s$)، عدد سختی ویکرز نمونه ۵۴۸ می‌باشد که تقریباً برابر با سختی نمونه کوئنچ مستقیم در آب (HV10 ۵۵۱) است. با کاهش سرعت سرد شدن از $400^{\circ}C/s$ به $1^{\circ}C/s$ ، سختی نمونه‌ها آهنگ کاهش ملایمی را از HV10 ۵۴۸ به HV10 ۵۰۲ نشان می‌دهند که در اثر پدیده تمیز خود به خودی مارتزیت است. با ادامه کاهش سرعت سرد شدن نمونه‌ها از $1^{\circ}C/s$ به $0.1^{\circ}C/s$ ، عدد سختی ویکرز نمونه‌ها بطور قابل توجهی از ۵۰۲ به ۳۸۶ کاهش می‌یابد که این پدیده در اثر تشکیل مخلوطی از ریزساختارهای فریتی، بینایتی و مارتزیتی می‌باشد.

متالوگرافی رنگی. شکل (۳) تصاویر متالوگرافی بدست آمده از نمونه‌های سرد شده با سرعت‌های مختلف را در شرایطی نشان می‌دهد که ابتدا توسط نایتال ۲ درصد و سپس با استفاده از محلول لپرا اج شده اند. همانطوریکه مشاهده می‌گردد فاز فریت به رنگ سفید برآق و با مرزیندی کاملاً مشخصی از سایر ریزساختارها تمایز شده است. هم چنین فازهای سوزنی شکل بینایتی و مارتزیتی به ترتیب به رنگ‌های آبی و قهوه‌ای مشاهده می‌شوند. کتراست بالای

مشاهدات الکترونی و ریزسختی سنجی. در شکل (۴) تصاویر میکروسکوپ الکترونی روبشی برخی از نمونه‌های دیلاتومتری که با سرعتهای مشخصی بطور پیوسته از دمای 1000°C تا دمای محیط سرد شده‌اند، نشان داده شده است. ریزساختار نمونه کوئنچ مستقیم در آب از دمای آستانته کردن (1000°C) در تصویر (۴-الف) آورده شده است. همانطوریکه ملاحظه می‌گردد ریزساختار این نمونه شامل بسته‌های مختلفی از کریستال‌های سوزنی شکل با جهت‌گیری کریستالوگرافیکی کاملاً متفاوت می‌باشد که متناسب با ریزساختار مارتزیت سوزنی است. در تصویر (۴-ب) ریزساختار نمونه دیلاتومتری سرد شده با حداکثر سرعت سرد شدن ممکن در این پژوهش (400°C/s) نشان داده شده است. همانطوریکه مشاهده می‌گردد ریزساختار این نمونه هم شامل بسته‌های مختلفی از کریستال‌های سوزنی شکل مارتزیتی با آرایش تقریباً مشابه نمونه کوئنچ مستقیم در آب است. از آنجائیکه سختی نمونه دیلاتومتری با حداکثر سرعت سرد شدن ممکن در این پژوهش (HV10 ۵۴) تقریباً برابر با سختی نمونه کوئنچ مستقیم در آب (HV10 ۵۵) می‌باشد، ریزساختار آن هم مشابه ریزساختار نمونه کوئنچ شده در آب از نوع مارتزیت سوزنی است. ریزساختارهایی که مربوط به کاهش ملایم سختی از HV10 تا HV10 ۵۰۲ است، در تصاویر (۴-ب، ۴-ج، ۴-د) مشاهده می‌گردند. این ریزساختارها هم کاملاً مارتزیتی می‌باشند چراکه مشابه ریزساختار نمونه کوئنچ شده در آب شامل بسته‌های پراکنده‌ای از کریستال‌های سوزنی شکل مارتزیت است. وقتیکه سرعت سرد شدن کمتر از 1°C/s بود، مخلوطی از ریزساختارهای بینایی و مارتزیتی مطابق با تصویر (۴-ه) تشکیل شده است. در آهسته ترین سرعت سرد شدن ممکن در این پژوهش (1°C/s)، ریزساختار نمونه شامل زمینه بینایی با مقادیری از فریت مرزدانه‌ای است (شکل ۴-و).

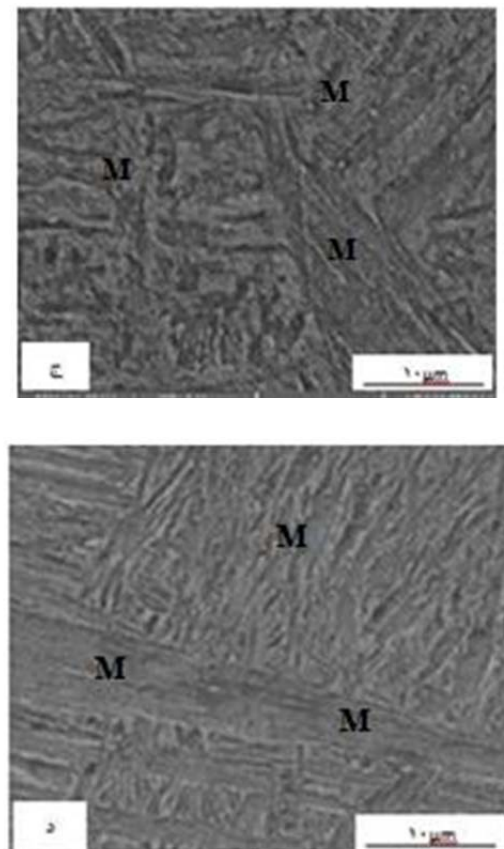


شکل ۳ تصاویر میکروسکوپ نوری از ریزساختار نمونه‌های تهیه شده به روش متالوگرافی رنگی دورحله‌ای بر پایه نایتاال ۲٪ و لپرا: (الف) کوئنچ مستقیم در آب؛ (ب) 1°C/s ؛ (ج) $0/25^{\circ}\text{C/s}$ و (د) $0/1^{\circ}\text{C/s}$. فازهای مارتزیت، بینایت و فریت به ترتیب با علامت‌های M، B و F مشخص شدند.



شکل ۴ تصاویر میکروسکوپ الکترونی روبشی از نمونه های دیلاتومتری که با سرعت های مختلفی بطور پیوسته از دمای 1000°C تا دمای محیط سرد شدند: (الف) کوئنج مستقیم در آب؛ (ب) $10^{\circ}\text{C}/\text{s}$ ؛ (ج) $15^{\circ}\text{C}/\text{s}$ ؛ (د) $20^{\circ}\text{C}/\text{s}$ و $0/10^{\circ}\text{C}/\text{s}$. فازهای مارتزیت، بینایت و فریت به ترتیب با علامت های M و B و F مشخص شدند.

شکل (۵) تصویر رنگی سازی فازهای بینایت و مارتزیت را به همراه اثر ریزسختی سنجی آنها نشان می دهد. متوسط عدد سختی برای فاز آبی $355\text{HV}10\text{g}$ و برای فاز قهوه ای $537\text{HV}10\text{g}$ می باشد. ملاحظه می شود سختی فازهای آبی و قهوه ای رنگ اختلاف زیادی داشته که به ترتیب مربوط به تشکیل فازهای بینایت و مارتزیت است. این نتایج صحت اطلاعات حاصل از متالوگرافی رنگی را نشان می دهد.

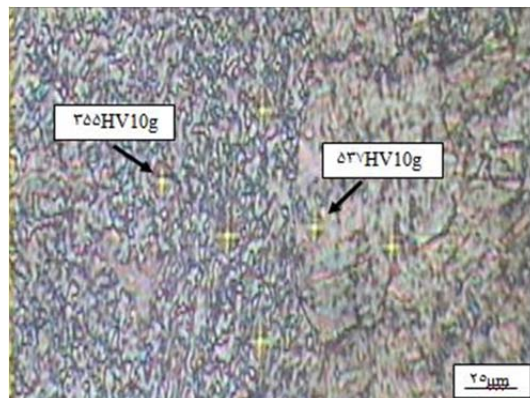


۵. انبساط یک مرحله‌ای کاملاً یکنواخت و پیوسته در منحنی دیلاتومتری مشاهده می‌گردد که بیانگر سینتیک یکسان تحولات فازی بینایی و مارتزیتی است.

۶. در سرعتهای سرد شدن کمتر از 0.8°C/s ، شیب منحنی دیلاتومتری در محدوده دمایی تحولات فازی آستینیت به فریت و بینایت ($300-500^{\circ}\text{C}$) بطور گسترده‌ای تغییر می‌نماید. نتایج دیلاتومتری نشان می‌دهد که بینایت و فریت با مکانیزم کاملاً متفاوتی تشکیل می‌گردند.

۷. استفاده از نایتال ۲ درصد و محلول شیمیایی لپرا در متالوگرافی رنگی ریزساختارهای چندفازی فریتی-بینایی-مارتنزیتی سبب آشکارسازی فازهای فریت مرزدانه‌ای با وضوح کافی به رنگ سفید روشن و تفکیک سازی فازهای بینایت و مارتزیت به ترتیب به رنگ‌های آبی و قهوه‌ای و با کتراست مناسب گردید.

۸. بررسی ریزساختی سنجی فازهای رنگی سازی شده بیانگر دقت بالای آشکارسازی ریزساختارهای چندفازی فریتی-بینایی-مارتنزیتی با متالوگرافی رنگی دو مرحله‌ای برپایه نایتال و لپرا می‌باشد.



شکل ۵ تصویر میکروسکوپ نوری به همراه ریزساختی سنجی از فازهای سوزنی شکل رنگی سازی شده بیانگر دقت بالای روش متالوگرافی رنگی در تفکیک سازی فازهای بینایت (آبی رنگ) و مارتزیت (قهوه‌ای رنگ) در ریزساختارهای چندفازی است.

نتیجه گیری

۱. دیاگرام فاز CCT یک فولاد کم آلیاژ کم کربنی به روش دیلاتومتری - متالوگرافی - سختی سنجی مشخص گردید.
۲. دیاگرام فاز CCT یک ناحیه فازی گسترده‌ای را برای تحول فازی مارتزیتی در سرعتهای سرد شدن پیوسته 1°C/s الی 40°C/s نشان می‌دهد.
۳. در محدوده دمایی تحولات فازی بینایی و مارتزیتی در سرعتهای سرد شدن متوسط ($222-475^{\circ}\text{C}$) در سرعتهای سرد شدن متوسط

مراجع

1. Krauss G., "Steels: Processing, Structure and Performance", 3rd Edition, ASM International, pp. 125, (2005).
2. Krauss G., "Quenched and Tempered Martensitic Steels: Microstructures and Performance", *Comprehensive Materials Processing*, Vol. 12, pp. 363, (2014).
3. Dunne D.P., Ghasemi Banadkouki S.S., "Isothermal Transformation Products in a Cu-bearing High Strength Low Alloy Steels", *International Journal of ISIJ*, Vol. 36, No. 3, pp. 324, (2006).
4. Ohmori Y., International Symposium on "New Aspects of Microstructures in Modern Low Carbon High Strength Steels", *Bainitic Transformation in Extremely Low Carbon Steels*, Tokyo, p. 278, (1994).
5. Okaguchi S., "Morphology of Widmanstätten and Bainitic Ferrites", *Material Transactions Japanese Institute of Metal*, Vol. 32, pp. 697, (1991).

6. Giovanni G.F.M.S., "Effect of cooling rate and coiling temperature on the final microstructure of HSLA steels after HSM or laboratory TMP processing", University of Pittsburgh, (2009).
7. Katsumata M., Ishiyama O., Inoue T., Tnaka T., "Microstructure and Mechanical Properties of Bainite Containing Martensite and Retained Austenite in Low Carbon HSLA Steels", *Materials Transaction*, JIM, Vol. 32, No. 8, pp. 715, (1991).
8. Trzaska J., Jagie A., Dobrzański L.A., "The calculation of CCT diagrams for engineering steels", *Materials Science and Engineering*, Vol. 39, pp. 13, (2009).
9. Nambu S., "In situ Observation and Crystallographic Analysis of Martensitic Transformation in Steel", *Acta Materialia*, Vol. 61, No. 13, pp. 4831, (2013).
10. Zhu K. et al, "The Effect of Prior Ferrite Formation on Bainite and Martensite Transformation Kinetics in Advanced High Strength Steels", *Acta Materialia*, Vol. 61, No. 16, p. 6025, (2013).
11. VanBohemer S.C., Sietsma J., "The Kinetics of Bainite and Martensite Formation in Steels During Cooling", *Materials Science and Engineering A*, Vol. 527, No. 24-25, (2010).
12. Hu K.M., Bhadeshia H.K.D.H., "Extremely Fine Pearlite by Continuous Cooling Transformation", *Scripta Materialia*, Vol. 67, No. 1, pp. 53, (2012)
13. VanderVoort G. F., "Color Metallography, Microsc Microanal", *Microscopy Society of American*, p. 70, (2004).
14. LePera F. S., "Improved Etching Technique to Emphasize Martensite and Bainite in High Strength Dual-Phase Steel", *Journal of Metals*, pp. 38, (1980).
15. Mehranfar S. et al, "Improved Color Metallography for a Low Alloy Hardened Cast Iron", *ISIJ International*, Vol. 52, No. 9, p. 1649, (2012).
16. Girault E., et al, "Metallographic Methods for Revealing the Multiphase Microstructures of TRIP-Assisted Steels", *Materials Characterization*, Vol. 40, pp. 111, (1998).
17. Zakernia H. et al, "Color Metallography: a suitable method for characterization of martensite and bainite in multiphase steels", *International Journal of ISSI*, Vol. 6, pp. 14, (2009).

